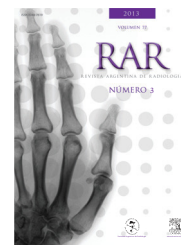


RAR



ONCOLOGÍA/ACTUALIZACIÓN EN RADIOLOGÍA

Ecografía y biopsia prostáticas en la detección del carcinoma prostático

A. Rodríguez*, G. Criscuolo, S. González Calvo, N. Larrañaga, J.C. Gallo y S. Kozima

Departamento de Diagnóstico por Imágenes, CEMIC (Centro de Educación Médica e Investigaciones Clínicas "Norberto Quirno"), Buenos Aires, Argentina

Recibido noviembre de 2012; aceptado abril de 2013

Resumen

Objetivo: Mostrar nuestra experiencia en ecografía prostática transrectal y biopsia prostática bajo guía ecográfica a lo largo de 10 años, a través de la realización de un análisis retrospectivo, con el fin de evaluar sus beneficios en la detección del adenocarcinoma, identificar la distribución de muestras positivas en la glándula y exponer la utilidad de la punción de imágenes nodulares.

Materiales y métodos: Entre marzo del 2001 y noviembre del 2011 se realizaron 1.163 ecografías prostáticas transrectales seguidas de biopsias prostáticas bajo control ecográfico. En la muestra se incluyó a pacientes que se realizaron más de una biopsia. Los datos obtenidos de estos procedimientos permitieron identificar la presencia de tres grupos etarios de acuerdo a la incidencia de la patología, conocer la localización más frecuente del adenocarcinoma dentro de la próstata y evaluar la utilidad de la biopsia de los nódulos prostáticos en la detección del adenocarcinoma.

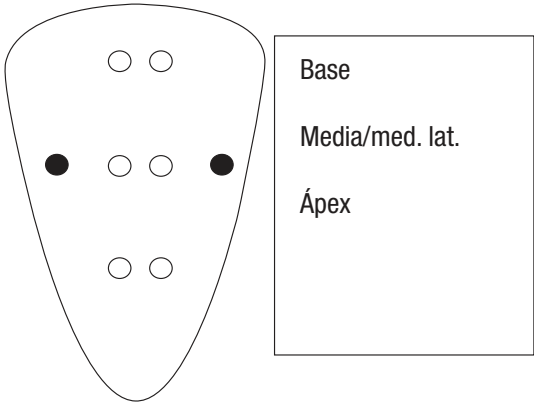
Resultados: El análisis de la muestra arrojó un porcentaje de detección del adenocarcinoma del 16% en los menores de 50 años, del 36% en aquellos entre los 50 y 60 años, y del 48% en los mayores de 65 años.

La base izquierda de la próstata fue la localización con el índice más alto de positividad (15%), seguido por la media izquierda (14%), la base derecha (14%), la media derecha (13%), el ápex izquierdo (12%), el medio lateral izquierdo (12%), el ápex derecho (11%) y el medio lateral derecho (10%).

Doscientos noventa y nueve pacientes presentaron imágenes nodulares: 118 (Grupo A) tuvieron alguna muestra positiva y 181 presentaron resultados negativos (Grupo B). A su vez, el Grupo A se dividió en 3 subgrupos: el Subgrupo A, cuyo resultado positivo se registró en la muestra del nódulo, pero fue negativo en el resto de la glándula; Subgrupo B, cuyos resultados fueron positivos en el resto de la glándula y negativos en la muestra del nódulo; y Subgrupo C, cuyo resultado fue positivo tanto en las muestras de la glándula como en las del nódulo (combinación más frecuente de los tres subgrupos).

*Autor para correspondencia.

Correo electrónico: ale_rodriguez456@hotmail.com (A. Rodríguez).



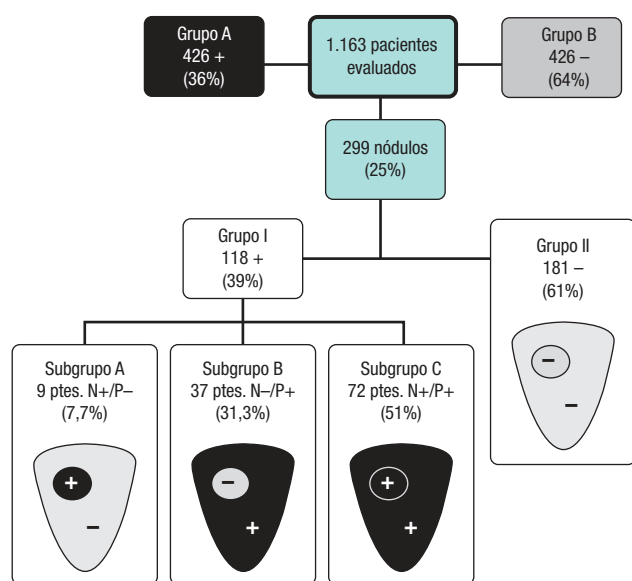
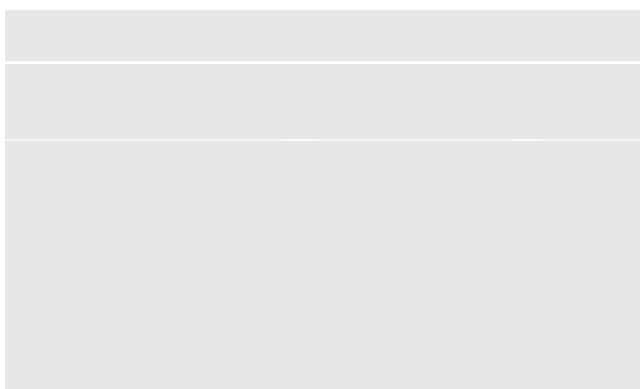


Figura 5 Resultados de los casos con imágenes nodulares (N: nódulo; P: parénquima).

